

# 芜菁花叶病毒吉林分离物外壳蛋白基因克隆与序列分析

王凤婷<sup>1</sup>, 李琳<sup>2</sup>, 孙玥<sup>1</sup>, 祝富祥<sup>1</sup>, 乔凯彬<sup>1</sup>, 张祥辉<sup>1</sup>, 潘洪玉<sup>1</sup>, 刘金亮<sup>1\*</sup>

(1. 吉林大学植物科学学院, 长春 130062; 2. 吉林省农业广播学校, 长春 130599)

**摘要:** 为明确芜菁花叶病毒(*Turnip mosaic virus*, TuMV)在吉林省十字花科蔬菜上的侵染情况,用RT-PCR方法扩增获得吉林省16个TuMV病毒分离物的cp基因,并对其序列进行分析。结果表明,本研究所获得的16个吉林省TuMV分离物和2个山东省分离物cp基因序列同源性为90.3%~100%,与其他30个从GenBank上获得的TuMV分离物核苷酸同源性为81.9%~99.3%。TuMV cp基因系统进化分析显示:48个TuMV分离物分布在5个组,吉林省TuMV分离物存在basal-B组和word-B组2个株系,basal-BR组为优势株系,在Asian-BR、basal-B和OMS组中均无分布。重组分析表明,吉林省16个TuMV病毒分离物cp基因都未发生重组事件。选择压力分析显示cp基因编码区处于负向或纯化选择压力。

**关键词:** 吉林省; 芫菁花叶病毒; cp基因; 系统进化; 序列分析

中图分类号:S432.41

文献标识码:A

文章编号:2096-5877(2023)05-0071-05

## Cloning and Sequence Analysis of *cp* Gene of *Turnip mosaic virus* Isolates in Jilin Province

WANG Fengting<sup>1</sup>, LI Lin<sup>2</sup>, SUN Yue<sup>1</sup>, ZHU Fuxiang<sup>1</sup>, QIAO Kaibin<sup>1</sup>, ZHANG Xianghui<sup>1</sup>, PAN Hongyu<sup>1</sup>, LIU Jinliang<sup>1\*</sup>

(1. College of Plant Sciences, Jilin University, Changchun 130062; 2. Jilin Agricultural Radio and Television School, Changchun 130599, China)

**Abstract:** In order to identify *Turnip mosaic virus* (TuMV) infection in cruciferous vegetables in Jilin province, 16 TuMV virus isolates *cp* genes were cloned. Sequence analysis results showed that the *cp* gene sequence identities of 16 TuMV isolates from Jilin province and 2 isolates from Shandong Province obtained in this study was 90.3%~100%, and the nucleotide identities of the 16 TuMV isolates obtained in this study was 81.9%~99.3% compared with other 30 TuMV isolates in GenBank. Phylogenetic analysis showed that 48 of the TuMV isolates including 16 isolates in Jilin Province, could be divided into 5 lineages. TuMV isolates in Jilin province were divided into 2 lineages corresponding to basal-B and word-B. Basal-B was the dominant isolates. But there was no isolates divided into the Asian-BR, basal-B and OMS lineages. The recombinant analysis of *cp* gene coding region of 18 TuMV isolates obtained in this study found that no recombinant phenomenon occurred. The results of selective pressure analysis showed that *cp* coding region was under negative or purified selective pressure, in which the selection pressure of the isolates in Asian-BR lineage was low, and that of the isolates in World-B lineage was the highest.

**Key words:** Jilin Province; *Turnip mosaic virus*; *cp* gene; Phylogenetic evolution; Sequence analysis

芜菁花叶病毒(*Turnip mosaic virus*, TuMV)属于马铃薯Y病毒属(*Potyvirus*)<sup>[1-2]</sup>,具有广泛的寄主范围,目前已成为危害蔬菜最严重的病毒之

收稿日期:2020-10-30

基金项目:吉林省重点研发计划项目(20210202131NC);国家自然科学基金项目(31201485)

作者简介:王凤婷(1978-),女,高级实验师,博士,主要从事蔬菜病害研究。

通讯作者:刘金亮,男,博士,教授,E-mail: jliu@jlu.edu.cn

一<sup>[3]</sup>。TuMV通过多聚蛋白策略和核糖体移码策略加工成11个成熟蛋白<sup>[4]</sup>。

TuMV容易发生变异,具有多种变异类型。自1935年Hoggan等<sup>[5]</sup>首次研究TuMV株系分化以来,陆续报道TuMV株系分化结果,但TuMV株系的遗传关系依然不明确。*p1*、*cp*基因及3'-UTR等基因序列越来越多地用于TuMV株系遗传分化研究中<sup>[6]</sup>。直至2002年,Ohshima等<sup>[7]</sup>首次利用生物学与分子生物学手段将世界范围的TuMV分离物

归为 BR 型和 B 型两个致病型，并划分为 Asian-BR、basal-B、basal-BR 和 world-B 4 个组。TuMV 可能是 1 000 年前由兰花中分离获得的 TuMV-OM 偏离进化形成的<sup>[8]</sup>，因此将这些分离物单独划为 OMs 组。Tian 等<sup>[9]</sup>首次发现 TuMV basal-BR 组分离物在中国存在。

为明确 TuMV 在吉林省十字花科蔬菜上的侵染情况，本研究利用分子生物学手段，将采自吉林省的大白菜、萝卜疑似 TuMV 样品进行 *cp* 基因的克隆与测序，并进行重组分析系统进化关系，确定归属地位，明确种群选择压力，有助于深入理解 TuMV 种群遗传结构、进化规律及致病力等，为进一步揭示 TuMV 种群遗传变异规律及其致病机制奠定基础，同时为抗病育种提供理论依据。

## 1 材料与方法

### 1.1 材料

从吉林省、山东省十字花科蔬菜上采集具有典型 TuMV 侵染症状的样品，经过单斑分离后获得 18 个 TuMV 分离物，保存至 -80 °C 冰箱。

RNA 提取试剂盒、M-MLV 逆转录酶、pMD18-TVector、rTaqDNA 聚合酶购自大连宝生物公司；琼

脂糖凝胶回收试剂盒、Trans2K DNA 分子量标准、T4 DNA 连接酶均购自北京全式金生物公司。其他生化试剂都是进口或国内分析纯。

### 1.2 RNA 提取与 RT-PCR 扩增

根据 GenBank 中 TuMV 全基因组序列，设计扩增 TuMV<sub>cp</sub> 基因序列与 3'-UTR 的引物对 (TuMV-CP-F: 5'-CCTTACATAGCGAACAGCGCTGAGG AA-3'；UTR-R: 5'-TTTTTTTTTTTTTTTTGTCCC TTGCATCCTATCAAATG-3')。利用 R NA 提取试剂盒提取感病样品总 RNA，以此为模板合成其 cDNA，再利用 TuMV-CP-F 和 UTR-R 扩增 *cp* 与 3'-UTR 片段<sup>[10]</sup>。

### 1.3 基因克隆与测序

PCR 产物连接至 pMD18-TVector 上，转化大肠杆菌 DH5 $\alpha$ ，经 PCR 与酶切鉴定获得重组质粒。选择 2~4 个含有重组质粒的菌株送上海生工有限公司测序。

### 1.4 序列分析

#### 1.4.1 序列同源性分析

用 DNASTAR 软件对片段序列拼接，登录 NCBI 网站，利用 Blast 检索确定是 TuMV<sub>cp</sub> 与 3'-UTR 序列，利用 DNASATR 软件对所获得的序列进行同源性比较（表 1）。

表 1 TuMV 分离物基本信息

登录号	分离物	寄主	地域	致病型
AB093622	2J	<i>Brassica pekinensis</i>	Japan	BR
AB093620	59J	<i>Raphanus sativus</i>	Japan	BR
HQ446217	BJ-C4	Unknown	China	Unknown
AB093601	Cal1	<i>Calendula officinalis</i>	Italy	BR
AB252103	CH6	<i>Raphanus sativus</i>	China	BR
AB093626	CHN1	<i>Brassica</i> sp.	China	BR
AB701701	DEU4	<i>Lactuca sativa</i>	Germany	BR
AB093623	DMJ	<i>Raphanus sativus</i>	Japan	BR
AB701705	Eru1D	<i>Eruca sativa</i>	Italy	B
AB701696	GK1	<i>Matthiola incana</i>	Greece	B
AB093602	IS1	<i>Allium ampeloprasum</i>	Israel	B
AB701721	ITA2	<i>Cheiranthus cheiri</i>	Italy	BR
AB701725	ITA8	<i>Abutilon</i> sp.	Italy	BR
KM094174	JPN 1	<i>Raphanus sativus</i>	Japan	Unknown
AB093605	KEN1	<i>Brassica oleracea</i>	Kenya	B
AB252124	KWB778J	<i>Brassica oleracea</i>	Japan	B
AB252130	ND10J	<i>Raphanus sativus</i>	Japan	BR
AB701727	NLD2	<i>Brassica oleracea</i>	Netherlands	B
AB701690	OM	<i>Orchis militaris</i>	Germany	DI <sup>*</sup>
AB701691	OMA	<i>Orchis militaris</i>	Germany	DI
AB701692	ORM	<i>Orchis morio</i>	Germany	(B)

续表 1

登录号	分离物	寄主	地域	致病型
AB701693	OS	<i>Orchis simia</i>	Germany	DI
AB093603	PV0104	<i>Lactuca sativa</i>	Germany	BR
AB105134	Tu-3	<i>Brassica oleracea</i>	Japan	B
AB362513	TUR9	<i>Raphanus sativus</i>	Turkey	B(R)
AF169561	UK1	<i>Brassica napus</i>	UK	B
AB701741	USA6	<i>Raphanus sativus</i>	USA	BR
EU734434	WFLB06	<i>Raphanus sativus</i>	China	BR
AF530055	YC5	<i>Zantedeschia</i> sp.	China	BR
KF246570	ZH1	<i>Phalaenopsis</i> sp.	China	Unknown
KR153038	CCLB	<i>Raphanus sativus</i>	China	Unknown
KR153039	LWLB	<i>Raphanus sativus</i>	China	Unknown
KR153040	WFLB14	<i>Raphanus sativus</i>	China	Unknown
JF314859	WRJCL09	<i>Raphanus sativus</i>	China	Unknown
JF314850	GRJCL09	<i>Raphanus sativus</i>	China	Unknown
JF314854	RRHD10	<i>Raphanus sativus</i>	China	Unknown
JF314847	CCJSL10	<i>Brassica pekinensis</i>	China	Unknown
JF314860	WRJCL10	<i>Raphanus sativus</i>	China	Unknown
JF314848	GRJCJ09	<i>Raphanus sativus</i>	China	Unknown
JF314857	WRJCJ09	<i>Raphanus sativus</i>	China	Unknown
JF314855	RRJCJ09	<i>Raphanus sativus</i>	China	Unknown
JF314852	PRJCJ09	<i>Raphanus sativus</i>	China	Unknown
JF314853	PRJCJ09.1	<i>Raphanus sativus</i>	China	Unknown
JF314858	WRJCK09	<i>Raphanus sativus</i>	China	Unknown
JF314849	GRJCK09	<i>Raphanus sativus</i>	China	Unknown
JF314846	CCJCJ09	<i>Brassica pekinensis</i>	China	Unknown
JF314856	RRJN09	<i>Raphanus sativus</i>	China	Unknown
JF314851	PRJCC09	<i>Raphanus sativus</i>	China	Unknown

注: DI 为不能够侵染芸薹属植物。LWLB 和 WFLB14 为山东省的 2 个 TuMV 分离物, CCLB、WRJCL09、GRJCL09、RRHD10、CCJSL10、WRJCL10、GRJCJ09、WRJCJ09、RRJCJ09、PRJCJ09、PRJCJ09.1、WRJCK09、GRJCK09、CCJCJ09、RRJN09、PRJCC09 为吉林省的 16 个 TuMV 分离物

#### 1.4.2 系统进化分析

首先选择 2 个日本山药花叶病毒 (*Japanese yam mosaic virus*, JYMV) 分离物作为外组分离物, 利用 MEGA 7.0 软件 CLASTAL W 方法对序列进行比对, 再利用 NJ 法构建系统进化树<sup>[10]</sup>。

#### 1.4.3 重组分析

利用 RDP 4 软件分析重组, 该软件包括 BootScan、Chimaera 等方法, 至少 3 种方法分析结果为重组, 且  $P < 1.0 \times 10^{-6}$ , 才能确定存在重组事件<sup>[10]</sup>。

#### 1.4.4 遗传距离与选择压力分析

依据 *cp* 基因序列, 分别利用 MEGA 7.0 软件 K2P 法和 PBL 法计算 TuMV 分离物的遗传距离和选择压力。通过  $d_s/d_s$  值(非同义突变/同义突变)预测 *cp* 基因的选择压力<sup>[10]</sup>。

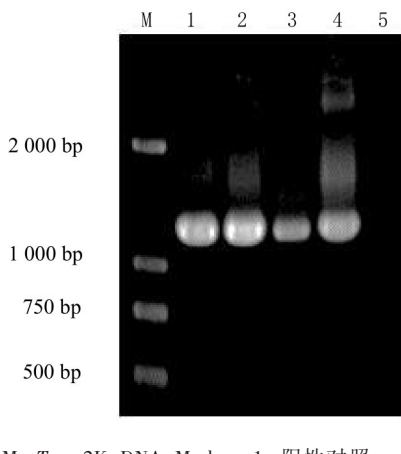
## 2 结果与分析

### 2.1 RT-PCR 检测结果

RT-PCR 扩增结果显示, 3 个 TuMV 分离物 RT-PCR 扩增产物大小均约为 1.2 kb, 与预测的片段理论大小一致(图 1)。

### 2.2 *cp* 基因序列同源性分析

利用 DNASTAR 软件中 Megalign 方法分析结果显示, 18 个 *cp* 基因的核苷酸序列同源性在 90.3%~100%, 不同寄主上的 TuMV 分离物没有明显寄主关联性。本研究中 18 个 TuMV 分离物与中国 BJ-C4 分离物(登录号: HQ446217)的核苷酸序列相似性最高, 同源性高达 99.3%; 与德国 OMA 分离物(登录号: AB701691)的核苷酸序列同源性最低, 仅为 81.9%。



M: Trans2K DNA Marker; 1: 阳性对照;  
2: CCLB; 3: LWLB; 4: WFLB14; 5: 阴性对照

图1 RT-PCR 扩增 *cp*-UTR 片段产物

### 2.3 系统进化分析

通过系统进化分析发现, TuMV 分离物形成 5 个进化簇, 即 Asian-BR、basal-B、basal-BR、world-B 和 OMS 组(图 2), 与张雅琦根据 *p3* 基因序列分析结果一致<sup>[11]</sup>, 吉林省 TuMV 分离物分布在 world-B 组和 basal-B 组, 多数分离物均划分到 basal-BR 组, 没有分离物分布在 Asian-BR、basal-B 和 OMS 组中。由此说明 TuMV 分离物 basal-BR 组为吉林省优势株系。

### 2.4 重组分析

TuMV 分离物 *cp* 基因重组分析结果显示, 本研究获得的 18 个 TuMV 分离物 *cp* 基因编码区均没有发生重组。

### 2.5 遗传距离分析

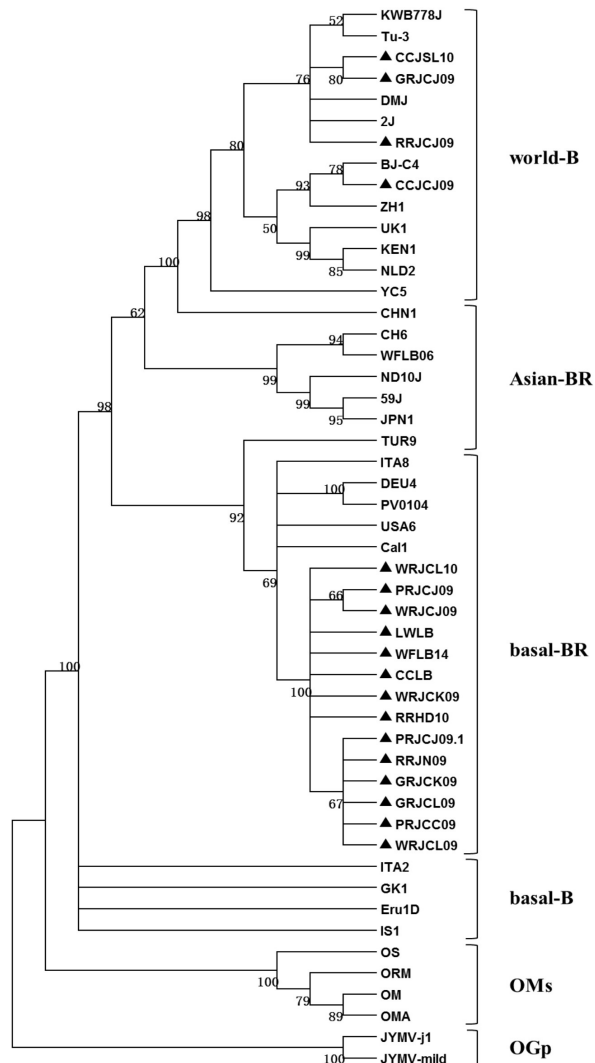
除 OMS 组外的 44 个 TuMV 分离物遗传距离分析结果表明(表 2), basal-B 组分离物(包括本研究的 4 个)组内的遗传距离最大。basal-B 组与 world-B 和 Asian-BR 组组间遗传距离最大。4 个组的组间遗传距离均大于组内, 由此表明依据 *cp* 基因序列确定的分组结果合理<sup>[10-11]</sup>。

表2 各组间和组内遗传距离

分组	basal-B	world-B	Asian-BR	basal-BR
basal-B	0.096±0.008			
world-B	0.121±0.010	0.023±0.003		
Asian-BR	0.121±0.010	0.089±0.009	0.034±0.004	
basal-BR	0.113±0.009	0.101±0.010	0.076±0.008	0.025±0.003

### 2.6 选择压力分析

为明确 TuMV 分离物的突变规律, 对 Asian-BR、basal-B、basal-BR、world-B 组的 44 个分离物的 *cp* 基因遗传变异进行分析。结果显示, 所有组



注:仅显示大于 50% 的 Bootstrap 值, 隐藏小于 50% 的节点。分离物名称前带有“▲”符号为吉林省和山东省 18 个 TuMV 分离物

图2 TuMV *cp* 基因核苷酸序列构建系统进化树

的组内、组间的  $d_N/d_s < 1$ , 由此表明 *cp* 基因编码区承受负向或纯化选择压力。Asian-BR 组分离物承受较低的选择压力( $d_N/d_s$  为 0.065), world-B 组分离物承受较大的选择压力( $d_N/d_s$  值为 0.102)(表 3)<sup>[10]</sup>。

表3 TuMV 各分离物 *cp* 基因编码区核苷酸多样性

分组	basal-B	world-B	basal-BR	Asian-BR
basal-B	0.071			
world-B	0.078	0.102		
basal-BR	0.068	0.071	0.080	
Asian-BR	0.075	0.058	0.053	0.065

### 3 结论与讨论

TuMV 是危害十字花科蔬菜最严重的病毒之一, 中国存在 Asian-BR、basal-B 和 world-B 组的分离物。TuMVbasal-BR 组分离物在中国呈现蔓

延趋势<sup>[9,12-16]</sup>。根据 *cp* 基因核苷酸序列比较分析, 本研究获得的吉林省 16 个 TuMV 分离物分布在 basal-BR 组和 world-B 组, 且 basal-BR 组为吉林省 TuMV 分离物优势株系。根据 *p3* 基因序列分析结果显示吉林省长春市的 10 个 TuMV 分离物均属于 basal-BR 组<sup>[17]</sup>。在中国各地区 TuMV 优势株系存在差异, 如四川省仅发现有 TuMVworld-B 组分离物<sup>[18]</sup>, 重庆市 TuMV 萝卜分离物均分布在 basal-BR 和 world-B 组, 且 world-B 组为优势株系<sup>[19]</sup>, 贵州省 basal-BR 为侵染甘蓝的优势株系<sup>[14]</sup>, 而 Asian-BR、basal-BR 和 world-B 组的 TuMV 分离物在山东省均有分布<sup>[13,16]</sup>。

在 TuMV 进化过程中普遍存在重组现象。本研究获得的 TuMV 分离物 *cp* 基因编码区都未发生重组, 但 WFLB06 分离物在依据 *cp* 基因和全基因组序列构建的系统进化树中分别分布在 Asian-BR 组和 basal-BR 组中, 出现这一结果的原因是 WFLB06 分离物存在 basal-BR 与 Asian-BR 组间的重组<sup>[20]</sup>。

TuMV 全基因组或部分基因组序列不断增加为综合分析中国 TuMV 种群的遗传变异提供数据支撑。本研究结果有助于进一步明确 TuMV*cp* 基因的分子变异及 TuMV 种群遗传规律, 对深入研究该病毒的致病机制及培育 TuMV 病毒持久抗性的作物品种奠定理论基础。

## 参考文献:

- [ 1 ] Wylie S J, Adams M, Chalam C, et al. ICTV Virus Taxonomy Profile: Potyviridae[J]. Journal of General Virology, 2017, 98: 352-354.
- [ 2 ] Fauquet M C, Mayo M A. Abbreviations for plant virus names - 1999 [J]. Archives of Virology, 1999, 144(6): 1249-1273.
- [ 3 ] Walsh J A, Jenner C E. Turnip mosaic virus and the quest for durable resistance[J]. Molecular Plant Pathology, 2002, 3: 289-300.
- [ 4 ] Chung B Y, Miller W A, Atkins J F, et al. An overlapping essential gene in the *Potyviridae*[J]. Proceedings of the National Academy of Sciences of the United States of America, 2008, 105: 5897-5902.
- [ 5 ] Hoggan I M É A, Johnson J. A Virus of Crucifers and other Hosts[J]. Phytopathology, 1935, 25(6): 640-644.
- [ 6 ] Van der Vlugt R A, Leunissen J, Goldbach R. Taxonomic relationships between distinct potato virus Y isolates based on detailed comparisons of the viral coat proteins and 3' nontranslated regions [J]. Archives of Virology, 1993, 131: 361-375.
- [ 7 ] Ohshima K, Yamaguchi Y, Hirota R, et al. Molecular evolution of Turnip mosaic virus: evidence of host adaptation, genetic recombination and geographical spread[J]. Journal of General Virology, 2002, 83: 1511-1521.
- [ 8 ] Nguyen H D, Tomitaka Y, Ho S Y W, et al. Turnip mosaic potyvirus probably first spread to Eurasian brassica crops from wild orchids about 1000 years ago [J]. PloS one, 2013, 8(2): e55336.
- [ 9 ] Tian Y P, Zhu X P, Liu J L, et al. Molecular characterization of the 3'-Terminal region of Turnip mosaic virus isolates from Eastern China[J]. Journal of Phytopathology, 2007, 155: 333-341.
- [ 10 ] 祝富祥. 芫菁花叶病毒的分子变异及其P3蛋白在病毒与寄主互作中的功能研究[D]. 长春: 吉林大学, 2016.
- [ 11 ] 张雅琦. 芫菁花叶病毒 *p3* 基因的分子变异及 P3 蛋白与拟南芥 AtSWEET1 蛋白的互作研究[D]. 长春: 吉林大学, 2015.
- [ 12 ] Zhu F X, Sun Y, Wang Y, et al. Molecular characterization of the complete genome of three Basal-BR isolates of Turnip mosaic virus infecting *Rapshus sativus* in China [J]. International Journal of Molecular Sciences, 2016, 17: 888.
- [ 13 ] Li X D, Zhu T S, Yin X, et al. The genetic structure of Turnip mosaic virus population reveals the rapid expansion of a new emergent lineage in China[J]. Virology Journal, 2017, 14: 165.
- [ 14 ] 刘学辉, 李淳, 陈小均, 等. 侵染贵州甘蓝的芫菁花叶病毒 *CP* 基因序列分析[J]. 广东农业科学, 2020, 47(4): 99-105.
- [ 15 ] 吴斌, 张眉, 姜珊珊, 等. 大白菜、萝卜芫菁花叶病毒系统进化及 *CP* 序列分析[J]. 山东农业科学, 2018, 50(8): 100-105.
- [ 16 ] 张成玲, 赵永强, 杨冬静, 等. 不同寄主植物上芫菁花叶病毒外壳蛋白基因克隆及分析[J]. 江苏农业学报, 2014, 30(1): 37-41.
- [ 17 ] 张雅琦, 祝富祥, 王凤婷, 等. 芫菁花叶病毒长春分离物 *p3* 基因的克隆、序列分析及 P3 蛋白抗血清的制备[J]. 植物病理学报, 2015, 45(6): 585-591.
- [ 18 ] 蒋彧, 席德慧, 王建辉, 等. 芫菁花叶病毒四川分离物外壳蛋白基因的克隆及序列分析[J]. 四川大学学报(自然科学版), 2010, 47(3): 639-643.
- [ 19 ] 熊艳, 孙森, 向华丰, 等. 重庆市萝卜芫菁花叶病毒的检测与序列分析[J]. 植物保护学报, 2018, 45(3): 432-438.
- [ 20 ] Wang H Y, Liu J L, Gao R, et al. Complete genomic sequence analyses of Turnip mosaic virus basal-BR isolates from China [J]. Virus Genes, 2009, 38: 421-428.

(责任编辑: 王昱)